

# МАГНИТНОЕ ПОВЕДЕНИЕ КЕРАМИКИ $DyBa_2Cu_3O_{7-\delta}$ ПРИ НИЗКИХ ТЕМПЕРАТУРАХ

Г. Г. Левченко, В. И. Маркович, В. М. Свистунов, И. М. Фита

Интерес к изучению магнитных свойств соединений  $ReBa_2Cu_3O_{7-\delta}$  ( $Re=Gd, Dy, Er, Sm, Nd$ ) связан с фактом существования в них при низких температурах сверхпроводимости и дальнего магнитного порядка. В двумерной структуре  $ReBa_2Cu_3O_{7-\delta}$  реализуются различные антиферромагнитные (АФМ) структуры: так, при  $Re=Gd$ ,  $Dy$  магнитный момент направлен вдоль оси  $C$ , а при  $Re=Er$  он лежит в плоскости  $ab$ ; в системах с  $Gd$  и  $Er$  хорошо выражено двумерное магнитное поведение.

Мультиплет основного состояния  $Dy^{3+}-^6H_{15/2}$ , испытывает сильное расщепление в кристаллическом поле, в результате нижним уровнем оказывается сильноанизотропный дублет, отделенный на 40 К от возбужденных уровней. О большой величине анизотропии свидетельствует тот факт, что при низких температурах магнитный момент керамики  $DyBa_2Cu_3O_{7-\delta}$  остается ненасыщенным даже в поле  $\sim 100$  кЭ. Поэтому при  $T < T_N$  в магнитном поле, направленном вдоль оси  $C$ , следует ожидать метамагнитное поведение  $DyBa_2Cu_3O_{7-\delta}$ , в отличие от слабоанизотропного  $GdBa_2Cu_3O_{7-\delta}$  (основное состояние  $Gd^{3+}-^8S_{7/2}$ , анизотропия имеет дипольное происхождение), в котором ранее мы обнаружили спин-фlop фазу на магнитной  $T-H$  диаграмме [1].

В настоящей работе исследованы температурная и полевые зависимости магнитной восприимчивости  $DyBa_2Cu_3O_{7-\delta}$ , измеренной на переменном токе ( $f=30 \pm 300$  Гц,  $\hbar \sim 1$  Э) в рефрижераторе растворения  $^3He-^4He$  (область температур 0.07–100 К). Цилиндрические образцы керамики в тетрагональной и орторомбической структурных фазах, приготовленные с использованием давления  $\sim 1$  ГПа, оказывались текстурированными с преобладанием ориентаций оси  $C$  кристаллитов вдоль оси цилиндра и соответственно вдоль магнитного поля в эксперименте.

Данные восприимчивости  $\chi(T)$  тетрагональной структуры при  $H=0$  показывают выполнение закона Кюри–Вейсса ( $\Theta \approx -8$  К) в области температур 15–70 К и максимум  $\chi$  при 0.95 К, связанный с АФМ упорядочением. Эти параметры хорошо согласуются с известными данными восприимчивости, теплоемкости, нейтронографии. Поведение  $\chi(T)$  в районе  $T_N$  отличается от такового в  $GdBa_2Cu_3O_{7-\delta}$ , где хорошо различаются температуры ближнего и дальнего порядков.

При температурах ниже  $T_N$  на полевой зависимости  $\chi(H)$  появляется максимум, амплитуда и поле  $H_c$ , которого растут с понижением температуры. На рис. 1 показаны характерные кривые изменения восприимчивости в магнитном поле, записанные при постоянных температурах (значения  $H_c$  и амплитуда определялись при десятикратном усилении сигнала). Максимум интерпретируется как фазовый переход в магнитном поле из АФМ в парамагнитное (ПМ) состояние, который реализуется лишь в тех кристаллитах образца, ось  $C$  которых совпадает с направлением внешнего магнитного поля. Значение  $H_c$  при  $T=0.35$  К хорошо согласуется с положением точки перегиба на кривой намагниченности  $M(H)$ , определенной в [2]. По данным  $\chi(H)$  построена магнитная  $T-H$  фазовая диаграмма  $DyBa_2Cu_3O_{7-\delta}$  (рис. 2), где экспериментальные точки определяют линию  $H_c(T)$ , ограничивающую область существования АМФ фазы в магнитном поле, приложенном в направлении  $C$ . Характерной особенностью линии  $H_c(T)$  является аномальное возрастание поля перехода  $H_c$  при  $T \rightarrow 0$ .

Экспериментальная линия фазовых переходов  $H_c(T)$  сравнивалась с теоретической зависимостью для изинговского АФМ [3], рассчитанной

в приближении высокотемпературных рядов по сдвигу аномалии  $\chi$  в магнитном поле. Сильное расхождение эксперимента с результатом для квадратной решетки (рис. 2, кривая 1) и лучшее согласие с зависимостью

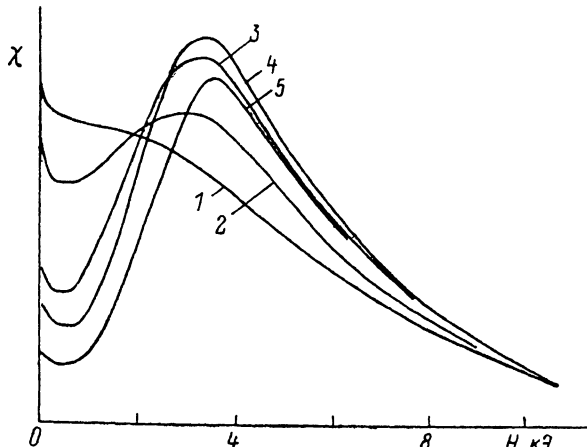


Рис. 1. Изменение восприимчивости  $DyBa_2Cu_3O_{7-\delta}$  тетрагональной структуры в магнитном поле при различных температурах.

$T, K: 1 - 1.015, 2 - 0.708, 3 - 0.377, 4 - 0.249, 5 - 0.120$ . Восприимчивость измерена при  $f=300$  Гц и  $h=0.85$  Г.

для простой кубической решетки (кривая 2) могут свидетельствовать о трехмерном характере магнитного поведения  $DyBa_2Cu_3O_{7-\delta}$ . Этот вывод согласуется с данными  $\chi(T)$  при  $H=0$ : восприимчивость максимальна в точке Нееля. Отметим здесь, что в  $GdBa_2Cu_3O_{7-\delta}$  мы наблюдали ярко выраженное двумерное магнитное поведение, в частности  $H_c(T)$  точно следует зависимости для плоской квадратной решетки. Различный характер магнитных взаимодействий в  $GdBa_2Cu_3O_{7-\delta}$  и  $DyBa_2Cu_3O_{7-\delta}$ , видимо, связан с наличием в последнем сильного спин-орбитального взаимодействия.

На линии  $H_c(T)$  обнаружена особенная точка  $R$  при  $T=0.23$  К, в которой восприимчивость в поле достигает максимального значения. Ниже  $T_R$  максимум  $\chi(H)$  быстро падает; максимальная  $\chi$  в  $T_R$  наблюдалась также и при измерениях на постоянном токе. Это поведение трудно объяс-

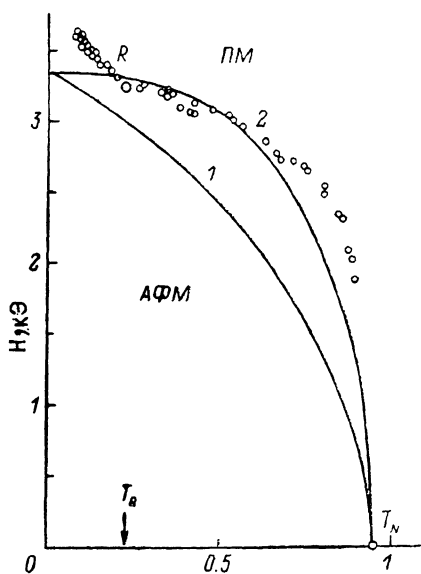


Рис. 2. Магнитная  $T-H$  фазовая диаграмма  $DyBa_2Cu_3O_{7-\delta}$  тетрагональной структуры.

нить, поскольку мы имеем дело с неоднородным распределением различных магнитных фаз по керамическому образцу и нельзя использовать представление о размагничивающем факторе. При  $T < T_R$ , однако, мы наблюдали гистерезис при фазовом переходе, что дает основание полагать, что в этой области температур он является первородным. Наличие таких особенностей позволяет интерпретировать результаты в рамках теории метамагнитных фазовых переходов двухподрешеточного антиферромагнетика [4]. В пределах этой теории (приближение молекуляр-

ного поля) из данных  $T_N$  и  $T_K$  определены константы внутри- и межподрешеточного обмена:  $J_{11}=0.237$ ,  $J_{12}=-0.712$  К. В критической точке  $R$  сходятся линии фазовых переходов 1-го и 2-го рода АФМ  $\leftrightarrow$  ПМ (ФП 1-го рода при  $T < T_R$ ).

Аномальный рост поля перехода при низких температурах объясняется возрастанием магнитного момента, индуцированного взаимодействием ядра  $Dy^{3+}$  ( $I=5/2$ ) с  $4f$ -оболочкой, которое весьма значительно в  $DyBa_2Cu_3O_{7-\delta}$  по данным мессбауэровских измерений (при  $T \sim 0$  поле на ядре достигает 4300 кЭ) [2]. Влияние сверхтонкого взаимодействия проявляется также в возрастании теплоемкости  $DyBa_2Cu_3O_{7-\delta}$  при  $T < 0.3$  К [5], когда температура становится сравнимой с расщеплением ядерных подуровней. В этом случае  $DyBa_2Cu_3O_{7-\delta}$  можно рассматривать как сильносвязанную электронно-ядерную систему. Теория [4] качественно описывает возрастание  $H_c(T)$  при  $T \rightarrow 0$  при учете сверхтонкого взаимодействия, оцененного из мессбауэровских данных.

В сверхпроводящем образце ( $T_c=88.5$  К, температура АФМ упорядочения равна 1.14 К в поле 1 кЭ) подобные метамагнитные переходы удалось выявить лишь при очень низких температурах  $T < 0.3$  К (поле переходов  $H_c$  на  $\sim 3$  кЭ превышает такое значение полей для тетрагональной структуры). Здесь также наблюдались аномалии в районе  $T=0.23$  К, где восприимчивость в поле достигала максимума, и возрастание поля перехода при  $T \rightarrow 0$ .

Авторы выражают благодарность Д. А. Яблонскому и В. Н. Криворучко за обсуждение работы и ценные замечания.

### Список литературы

- [1] Дорошенко Н. А., Левченко Г. Г., Маркович В. И., Ревенко Ю. Ф., Фята И. М. // ФТТ. 1989. Т. 31. № 8. С. 282—284.
- [2] Hodges J. A., Imbert P., Marimon da Cunha J. B., Hammamm J., Vincent E., Sanchez J. P. // Physica C. 1988. V. 156. N 1. P. 143—156.
- [3] Bienenstock A. // J. Appl. Phys. 1966. V. 37. N 3. P. 1459—1461.
- [4] Баръяхтар В. Г., Витебский И. М., Яблонский Д. А. // ФТТ. 1977. Т. 19. № 7. С. 2135—2142.
- [5] Dunlap B. D., Slaski M., Hinks D. G., Soderholm L., Bena M., Zhang K., Segre C., Crabtree G. W., Kwok W. K., Malik S. K., Schuller I. K., Jorgenson J. D., Sugaila A. // J. Magn. and Magn. Mat. 1987. V. 68. N 2. P. 139—144.

Донецкий физико-технический институт АН УССР  
Донецк

Поступило в Редакцию  
30 июня 1989 г.

УДК 539.2; 539.292

© Физика твердого тела, том 32, № 2, 1990  
*Solid State Physics, vol. 32, N 2, 1990*

## ОПТИЧЕСКИЕ СПЕКТРЫ И СТРУКТУРА ВАЛЕНТНОЙ ЗОНЫ ТВЕРДОГО РАСТВОРА $AgGaS_{2(1-x)}Se_{2x}$

В. Ф. Агекян, Д. Раджаб, А. Ю. Серов

Кристаллы группы  $A^I B^{\text{II}} C^{\text{VI}}$  (симметрия халькенирита  $\bar{4}2m$ ) являются тройными аналогами бинарных кристаллов  $A^{\text{II}} B^{\text{VI}}$ . Некоторые из многочисленных веществ этой группы имеют практическое значение:  $CuInSe_2$  используется как преобразователь солнечной энергии,  $AgGaS_2$  интересен сильными выраженнымми нелинейными свойствами и возможностью применения в электрооптических затворах.

В настоящей работе исследовано изменение параметров зонной структуры твердого раствора (ТР)  $AgGaS_{2(1-x)}Se_{2x}$  в зависимости от значе-